

## К ТЕОРИИ МАГНИТНЫХ ДОМЕНОВ

В. И. Марченко

Найдены решения системы граничных условий и поверхностное натяжение для наклонных границ в одноосных ферромагнетиках. Определено поведение доменной структуры Ландау — Лифшица во внешнем магнитном поле, направленном вдоль оси анизотропии. Предложена структура промежуточного состояния антиферромагнетиков в случае, когда мала одна из релятивистских констант.

Как показали Ландау и Лифшиц [1], ферромагнетики разбиваются на домены с различным направлением магнитного момента. В одноосных кристаллах магнитный момент в доменах направлен вдоль оси анизотропии «вверх» либо «вниз». В пластинке с осью анизотропии, перпендикулярной к ее поверхности, домены представляют собой параллельные слои.

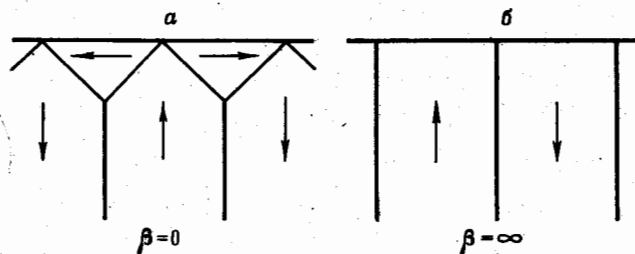


Рис. 1. Ферромагнитные доменные структуры: *a* — Ландау — Лифшица при  $\beta \rightarrow 0$ , *b* — Киттеля при  $\beta \rightarrow \infty$

Если анизотропия слабая, то при выходе слоев на поверхность образуются замыкающие домены, препятствующие возникновению сильного магнитного поля — структура Ландау — Лифшица (рис. 1, *a*). При большой анизотропии моментам не выгодно отклоняться от оси анизотропии — структура Киттеля (рис. 1, *b*).

Приворотский [2] установил термодинамическое условие существования фаз в любых магнетиках. Оказалось, что это условие не выполняется на границах замыкающих доменов. Ниже будет показано, что противоречие можно устранить, если качественно рассмотреть доменную структуру при произвольной константе анизотропии.

В работе исследованы наклонные к оси анизотропии границы. Для них удается найти точное решение системы граничных условий в случае, когда моменты обеих фаз лежат в плоскости, перпендикулярной к границе и проходящей через ось анизотропии. Результат позволяет ввести «микроскопическое» определение положения границы, необходимое, как известно [3], для выделения поверхностной части любой термодинамической величины, в том числе поверхностной части термодинамического потенциала, играющей роль поверхностного натяжения доменной границы. Уравнения, описывающие структуру наклонной границы, можно привести к виду урав-

иений для границ, направленных вдоль оси анизотропии, которые хорошо изучены. Выяснена также зависимость периода структуры Ландау — Либшица от внешнего магнитного поля, направленного вдоль оси анизотропии.

Во второй части работы рассмотрена структура промежуточного состояния антиферромагнетиков, аналогичная структуре Ландау — Либшица в ферромагнетиках, которая должна осуществляться, когда мала одна из релятивистских констант. В Приложении приведен вывод граничного условия Приворотского.

### I. Ферромагнитные домены

#### 1. Доменные границы

Выясним, какие фазы (домены) могут сосуществовать в случае, когда моменты обеих фаз лежат в одной плоскости (плоскость  $xz$ , где  $z$  — ось анизотропии), перпендикулярной к границе. При этом удобно пользоваться потенциалом  $\Phi'$ , введенным Приворотским [2]:

$$\Phi' = \tilde{\Phi} + H_n B_n / 4\pi. \quad (1)$$

$H_n$ ,  $B_n$  — нормальные к границе составляющие магнитного поля  $\mathbf{H}$  и индукции  $\mathbf{B}$ ,  $\tilde{\Phi}$  — обычный термодинамический потенциал ([1], § 36):

$$\tilde{\Phi} = \frac{1}{2} \beta \sin^2 \theta - \mathbf{HM} - H^2 / 8\pi, \quad (2)$$

$M$  — плотность магнитного момента,  $\beta$  — константа анизотропии,  $\theta$  — угол между  $M$  и осью анизотропии. В этом разделе будем считать  $|M|=1$ . Подставляя (2) в (1), получим

$$\Phi' = \frac{1}{2} \beta \sin^2 \theta - H_t M_t - B_n M_n + 2\pi M_n^2, \quad (3)$$

$H_t$ ,  $M_t$  — тангенциальные составляющие поля  $\mathbf{H}$  и магнитного момента. Опущены члены, зависящие от  $H_n$  и  $B_n$ , не меняющиеся при переходе через границу. Ввиду того что моменты лежат в одной плоскости,  $H_t$  отлично от нуля только в этой плоскости. Учитывая это, введем следующие обозначения:

$$\begin{aligned} d \sin 2\theta_0 &= -4\pi \sin 2\psi, & d \cos 2\theta_0 &= -\beta - 4\pi \cos 2\psi, \\ H_t &= cd \sin(A + \psi), & B_n &= cd \cos(A + \psi), \end{aligned} \quad (4)$$

$\psi$  — угол между осью  $z$  и границей. В этих обозначениях  $\Phi'$  имеет простой вид:

$$\Phi' = \frac{1}{4} d \cos 2(\theta - \theta_0) - cd \sin(\theta + A). \quad (5)$$

Границными условиями являются следующие уравнения:

$$d\Phi'_1/d\theta_1 = 0, \quad d\Phi'_2/d\theta_2 = 0, \quad \Phi'_1 = \Phi'_2. \quad (6)$$

Первые два — условия стабильности фаз 1 и 2, третье — термодинамическое условие сосуществования магнитных фаз Приворотского [2]. Таким образом, используя выражения (5) для потенциала  $\Phi'$ , получаем систему уравнений:

$$\sin 2(\theta_1 - \theta_0) + 2c \cos(\theta_1 + A) = 0,$$

$$\sin 2(\theta_2 - \theta_0) + 2c \cos(\theta_2 + A) = 0,$$

$$\cos 2(\theta_1 - \theta_0) - 4c \sin(\theta_1 + A) = \cos 2(\theta_2 - \theta_0) - 4c \sin(\theta_2 + A).$$

Переходя к переменным  $\theta_1 + \theta_2$  и  $\theta_1 - \theta_2$ , нетрудно найти решение:

$$\begin{aligned} \theta_1 + \theta_2 &= 2\theta_0 = \arctg \frac{\sin 2\psi}{\cos 2\psi + \beta/4\pi} + \pi, \\ \cos \frac{\theta_1 - \theta_2}{2} &= \pm \left( \frac{H_t^2 + B_n^2}{\beta^2 + 8\pi\beta \cos 2\psi + 16\pi^2} \right)^{1/2} \end{aligned} \quad (7)$$

при этом  $H_t$  и  $B_n$  связаны условием

$$H_t [4\pi + \beta \cos 2\psi + (\beta^2 + 8\pi \cos 2\psi + 16\pi^2)^{1/2}] = \beta B_n \sin 2\psi.$$

Полученные ответы необходимо исследовать на устойчивость. В обеих фазах должно быть  $d^2\tilde{\Phi}/d\theta^2 > 0$  и  $H_z \sin \theta > 0$ . Последнее неравенство — условие минимума  $\tilde{\Phi}$  относительно выхода момента из плоскости  $xz$ . При произвольном  $\beta$  получаются слишком громоздкие выражения. При  $\beta \rightarrow \infty$  все фазы, задаваемые решением (7), устойчивы. При  $\beta \rightarrow 0$  получаем простое условие:

$$(1 - c^2)^{1/2} \cos 2\psi \pm c \sin 2\psi > 0.$$

Таким образом, невозможно образование границ, отклоненных от оси анизотропии на угол, больший  $45^\circ$ , а разница  $\theta_1 - \theta_2$  может принимать значения в пределах от  $4\psi$  до  $2\pi - 4\psi$ . Отметим, что в предельных случаях  $\beta \gg 4\pi$  и  $\psi \ll 1$  решение (7) совпадает с результатами, полученными Пригородским [2].

Итак, моменты в существующих доменах расположены симметрично относительно прямой, направленной под углом  $\theta_0$  к оси анизотропии. Отсюда ясно, что для рассмотренного случая естественно определить положение середины границы так, чтобы компонента магнитного момента границы, перпендикулярная к этой прямой и лежащая в плоскости  $xz$ , равнялась нулю.

Так как потенциал  $\tilde{\Phi}'$  одинаков по обе стороны от границы, то его поверхностная часть  $\Delta'$  есть просто интеграл:

$$\Delta' = \int_{-\infty}^{+\infty} (\tilde{\Phi}' - \tilde{\Phi}_\infty') d\xi, \quad (8)$$

ось  $\xi$  перпендикулярна к границе. С учетом связи потенциала  $\tilde{\Phi}$  с  $\tilde{\Phi}'$  (1) поверхностьную часть  $\Delta$  потенциала  $\tilde{\Phi}$  (т. е. поверхностное натяжение) можно выразить через  $\Delta'$  и нормальную компоненту магнитного момента границы  $M_n'$ , которую нужно находить с учетом определения середины границы:

$$\Delta = \Delta' + B_n M_n'. \quad (9)$$

Уравнения, описывающие структуру границы, можно найти путем варьирования потенциала (8). При этом необходимо учитывать энергию неоднородности, связанную с обменным взаимодействием. Удобно ввести сферическую систему координат  $\gamma$ ,  $\eta$ , полярная ось которой направлена под углом  $\theta_0$  к оси анизотропии и лежит в плоскости  $xz$ . В этих переменных потенциал (8) имеет следующий вид:

$$\begin{aligned} \int_{-\infty}^{+\infty} \left\{ \frac{g}{2} \sin^2 \gamma \sin^2 \eta - \frac{d}{2} \sin^2 \gamma + cd \sin(A + \theta_0) \cos \gamma + \right. \\ \left. + \frac{\alpha}{2} [(\gamma')^2 + \sin^2 \gamma (\eta')^2] \right\} d\xi, \end{aligned} \quad (10)$$

$\alpha$  — константа неоднородности,  $2g=d+\beta-4\pi$ . Видим, что в переменных  $\gamma, \eta$  потенциал отличается от хорошо исследованного случая  $\psi=0$  только значением констант. Поэтому ограничимся лишь приведением некоторых решений. При  $c=0$  значение  $\gamma$  постоянно и равно  $\pi/2$ , а

$$\cos \eta = -\operatorname{th}(\xi/\delta), \quad \delta = (\alpha/g)^{1/2}. \quad (11)$$

Если  $\beta \gg 4\pi$ , то  $\delta = \delta_0 = (\alpha/\beta)^{1/2}$ , если  $\beta \ll 4\pi$ , то  $\delta = \delta_0 \cos^{-1} \psi$ . Когда  $c \neq 0$  и  $\beta \ll 4\pi$ , то изменение угла  $\eta$  описывается в нулевом приближении по  $\beta/4\pi$  снова выражением (11), а угол  $\gamma$  изменяется следующим образом:

$$\gamma = \arccos c - \frac{\beta}{2\pi} c (1-c^2)^{-1/2} \cos^2 \psi \sin^2 \eta. \quad (12)$$

Выпишем значение поверхностного натяжения  $\Delta$  для этой границы:

$$\Delta = \Delta_0 (1 + \cos^2 \gamma_\infty) \cos \psi, \quad (13)$$

$\Delta_0 = 2\beta\delta_0$  — поверхностное натяжение обычной блоховской границы, макроскопически исследованной Ландау и Либшицем [1],  $\gamma_\infty$  — значение угла  $\gamma$  на бесконечности.

## 2. Доменная структура Ландау — Либшица

Казалось бы, невозможность существования междоменных границ, направленных под углом  $45^\circ$  к оси анизотропии, между фазами  $\theta_1=0$  и  $\theta_2=\pi/2$  при  $\beta \rightarrow 0$  противоречит структуре Ландау — Либшица. Но на са-

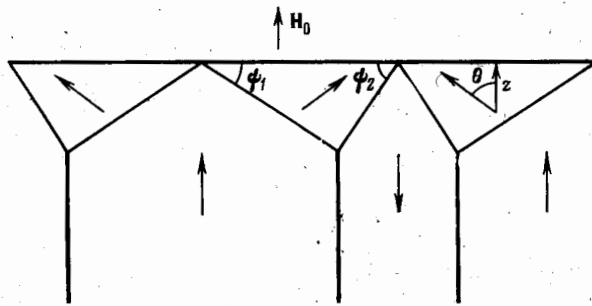


Рис. 2. Структура Ландау — Либшица во внешнем магнитном поле  $H_0 \parallel z$

мом деле переход от состояния  $\theta=0$  к состоянию  $\theta=\pi/2$  может происходить на макроскопических расстояниях, зависящих от толщины пластиинки  $L$  и малых по сравнению с периодом структуры  $a$  в меру малости  $\beta$ . Ясно, что при  $\beta \sim 4\pi$  в неразветвленной доменной структуре границы выходят на поверхность так же, как и в структуре Киттеля, но момент отклоняется на значительный угол от оси анизотропии на расстояниях порядка  $a$ . При  $\beta \rightarrow \infty$  угол отклонения мал и лишь в малой окрестности точки выхода междоменной границы момент существенно отклоняется, так как в этом месте развиваются сильные поля  $\sim \beta M$  (в точке выхода  $\theta=\pi/2$  при любом  $\beta$ ). При  $\beta \rightarrow 0$  условие отсутствия полей, больших  $\beta M$ , приводит естественно в нулевом приближении по  $\beta$  к структуре Ландау — Либшица. В следующем приближении появляются слабые отклонения от рис. 1 и переход между основными и замыкающими доменами происходит на макроскопических расстояниях. Эти отклонения приводят к появлению магнитного поля  $\sim \beta M$ , стабилизирующего структуру.

Рассмотрим теперь поведение доменной структуры Ландау – Лифшица во внешнем поле  $H_0$ , направленном вдоль оси анизотропии. Ясно, что структура должна измениться, как представлено на рис. 2. Углы  $\psi_1$ ,  $\psi_2$ ,  $\theta$ , характеризующие замыкающие домены, определяются условием непрерывности  $M_n$ :

$$H_0 = 4\pi M \cos \theta, \quad \psi_1 = \theta/2, \quad \psi_2 = \pi/2 - \theta/2.$$

Концентрацию  $c^+$  доменов с моментом, направленным по полю, найдем из условия равенства  $H_0$  нормальной к поверхности пластинки компоненты средней индукции  $B$  внутри пластинки, т. е.

$$H_0 = 4\pi c^+ M - 4\pi(1-c^+)M,$$

откуда

$$c^+ = \frac{1}{2}(1 + H_0/4\pi).$$

Объем замыкающего домена равен  $\frac{1}{2}a^2 \sin \theta$ . Таким образом, плотность энергии в пластинке есть

$$\frac{1}{4}\beta M^2 a \sin^3 \theta + 2\beta M^2 \delta_0 L/a.$$

Первый член – энергия выхода доменов на поверхность, второй – энергия доменных границ. Минимизируя, получаем период

$$a = a_0 [1 - (H_0/4\pi M)^2]^{-1/4}, \quad a_0 = 2(2\delta_0 L)^{1/2}. \quad (14)$$

## II. Промежуточное состояние антиферромагнетиков

Теория промежуточного состояния антиферромагнетиков, возникающего в некотором интервале полей, близких к полю опрокидывания подрешеток  $H_c$ , построена Барьяхтаром, Боровиком и Поповым в работах [5, 6]. Ими определено поверхностное напряжение на границе фаз, в одной из которых антиферромагнитный вектор  $\mathbf{l}$  направлен вдоль оси анизотропии, а в другой – перпендикулярно к этой оси, и исследованы структура, аналогичная киттлевской в ферромагнетиках [6], и разветвленная структура [5].

Плотность энергии антиферромагнетика запишем в виде

$$\frac{1}{2\chi_{\perp}} [\mathbf{l} \cdot \mathbf{M}]^2 + \frac{1}{2\chi_{\parallel}} (\mathbf{l} \cdot \mathbf{M})^2 + \frac{\beta}{2} (M_x^2 + M_y^2) + \frac{\rho}{2} (l_x^2 + l_y^2) - \mathbf{H} \cdot \mathbf{M} - \frac{H^2}{8\pi}. \quad (15)$$

Первые два члена соответствуют обменной энергии,  $\chi_{\perp}$  и  $\chi_{\parallel}$  – поперечные и продольные восприимчивости в обменном приближении,  $\beta$  и  $\rho$  – релятивистские константы. Когда  $\beta > 0$ , то при изменении внешнего магнитного поля  $H_0$  от  $H_{c1}$  до  $H_{c2}$ :

$$H_{c1} = H_c (1 + 4\pi \chi_{\parallel}), \quad H_{c2} = H_c (1 + 4\pi \chi_{\perp}), \quad (16)$$

антиферромагнетики разбиваются на домены с различным направлением вектора  $\mathbf{l}$ :  $\mathbf{l} \parallel z$  и  $\mathbf{l} \perp z$ . Поле  $\mathbf{H}$  внутри доменов направлено по оси  $z$  и равно полю опрокидывания  $H_c$ :

$$H_c^2 = \rho l^2 / (\chi_{\perp} - \chi_{\parallel}). \quad (17)$$

Концентрации фаз  $c_{\perp}$  и  $c_{\parallel}$  определяются условием непрерывности магнитного потока и равны

$$c_{\perp} = (H_0 - H_{c1}) / (H_{c2} - H_{c1}), \quad (18)$$

$$c_{\parallel} = (H_{c2} - H_0) / (H_{c2} - H_{c1}).$$

При  $\beta \ll 4\pi$  совершенно аналогично случаю ферромагнетиков структура должна иметь вид, представленный на рис. 3. В замыкающих доменах

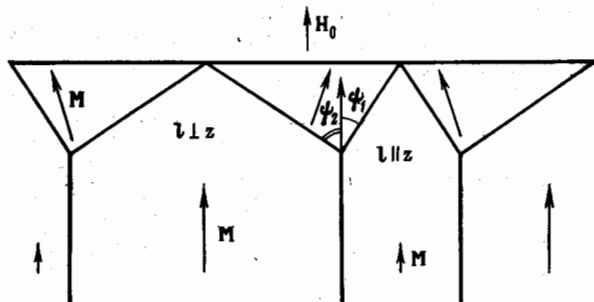


Рис. 3. Структура промежуточного состояния антиферромагнетиков при  $\beta=0$

$z$ -компоненты магнитного момента определяется условием

$$H_0 = H_c(1 + 4\pi\chi_{zz}), \quad (19)$$

$\chi_{zz}$  есть  $zz$ -компоненты тензора магнитной восприимчивости, зависящая от угла наклона  $\theta$  вектора  $\vec{l}$  относительно оси  $z$  следующим образом:

$$\chi_{zz} = \chi_{\parallel} \cos^2 \theta + \chi_{\perp} \sin^2 \theta.$$

Подставляя это значение  $\chi_{zz}$  в (19), найдем угол  $\theta$ :

$$\cos 2\theta = c_{\parallel} - c_{\perp}.$$

Составляющая  $M_z$  магнитного момента определяется  $xz$ -компонентой тензора восприимчивости  $M_z = \chi_{xz}H_c$ , и

$$\chi_{xz} = -(\chi_{\perp} - \chi_{\parallel}) \sin \theta \cos \theta.$$

Углы  $\psi_1$ ,  $\psi_2$  находим из условия непрерывности нормальной компоненты магнитного момента:

$$\operatorname{ctg} \psi_1 = \operatorname{tg} \psi_2 = (c_{\perp}/c_{\parallel})^{1/2}.$$

Теперь у нас есть все, чтобы вычислить плотность энергии пластинки, зависящую от периода структуры:

$$1/8 \rho \beta l^2 (\chi_{\perp} - \chi_{\parallel}) (c_{\perp} c_{\parallel})^{1/2} a + \Delta L/a. \quad (20)$$

Величина  $2\Delta = (\chi_{\perp} - \chi_{\parallel}) \rho \beta l^2 \delta$  — поверхностное натяжение границы между фазами  $l \parallel z$  и  $l \perp z$ ,  $\delta^2 = \alpha/\rho \beta (\chi_{\perp} - \chi_{\parallel})$  — «толщина» этой границы [5],  $\alpha$  — константа неоднородности. Минимизируя энергию, находим период

$$a = 2(\delta L)^{1/2} (c_{\perp} c_{\parallel})^{-1/4}.$$

Интересно, что это выражение в точности совпадает с формулой (14) для ферромагнетиков, если в последней ввести вместо поля  $H_0$  концентрации фаз с магнитным моментом, направленным по полю и против поля.

Приведем здесь для сравнения формулу для периода структуры, рассмотренной в работе [6] при  $\beta \gg 4\pi$ :

$$a = \frac{\pi}{2} \left( \frac{\beta \delta L}{f(c_{\perp})} \right)^{1/2}, \quad f(c_{\perp}) = \sum_{n=1}^{\infty} n^{-3} \sin^2 \pi c_{\perp} n,$$

и ее предельные выражения

$$c \rightarrow 0, \quad a = \frac{1}{2c} \left( \frac{\beta \delta L}{-\ln c} \right)^{1/2},$$

здесь  $c=c_{\perp}$  или  $c_{\parallel}$ . Эти выражения правильны, пока  $a \ll L$ . Задачу можно совершенно аналогично решить и при  $a \sim L$ . Ограничимся приведением значения периода при  $a \gg L$ :

$$a = \frac{1}{c} \left( \frac{\beta \delta L}{2 \ln(L/\beta \delta)} \right)^{1/2}.$$

Формула верна с логарифмической точностью по  $L/\beta \delta$ . Когда толщина пластины больше некоторой критической  $L_k$ , то выгодным становится ветвление. Значение  $L_k$  можно найти, сравнивая плотность энергии структуры типа Киттеля [6] с энергией разветвленной структуры, рассмотренной в [5]; получим

$$L_k = \beta \delta \chi_{\perp}^{-2}.$$

Так как  $\delta \sim 10^{-5}$  см,  $\chi_{\perp} \sim 10^{-3}$ , а  $\beta \gg 1$ , то  $L_k$  существенно больше сантиметра, т. е. обычно должна осуществляться неразветвленная структура.

Выражаю благодарность А. Ф. Андрееву за постоянное внимание и руководство работой, Е. М. Лифшицу, Л. П. Питаевскому и А. Е. Боровику за полезное обсуждение.

#### ПРИЛОЖЕНИЕ

Рассмотрим изменение термодинамического потенциала  $\tilde{\Phi}$  при бесконечно малом изменении границы между двумя магнитными фазами:

$$\delta \tilde{\Phi} = \int (\tilde{\Phi} - \tilde{\Phi}_0) dV.$$

Здесь интегрирование производится по всему пространству,  $\tilde{\Phi}_0$  и  $\tilde{\Phi}$  — плотности термодинамического потенциала соответственно до и после варьирования. Выделим из этого выражения интеграл по объему  $\delta V$ , где произошла смена фаз:

$$\delta \tilde{\Phi} = \int_{-\delta V} (\tilde{\Phi} - \tilde{\Phi}_0) dV + \int_{\delta V} (\tilde{\Phi} - \tilde{\Phi}_0) dV. \quad (\text{П.1})$$

Первый интеграл берется по всему пространству, исключая  $\delta V$ . Поскольку там происходят малые изменения, в частности, магнитное поле  $H$  меняется слабо, то разницу  $\tilde{\Phi} - \tilde{\Phi}_0$  можно представить следующим образом (см. [4]):

$$\tilde{\Phi} - \tilde{\Phi}_0 = -B \delta H / 4\pi.$$

Так как в силу уравнений  $\operatorname{div} B = 0$ ,  $\operatorname{rot} \delta H = 0$  интеграл по всему пространству от величины  $B \delta H$  равен нулю, то первый интеграл в (П.1) можно преобразовать в интеграл по объему  $\delta V$ :

$$\delta \tilde{\Phi} = \int_{\delta V} \left( \tilde{\Phi} - \tilde{\Phi}_0 + \frac{B \delta H}{4\pi} \right) dV.$$

Наконец, оставляя в этом выражении члены, линейные по отклонению границы  $f$ , найдем

$$\delta \tilde{\Phi} = \int \left( \tilde{\Phi}_1^0 - \tilde{\Phi}_2^0 + \frac{B_n^0 H_{n1}^0}{4\pi} - \frac{B_n^0 H_{n2}^0}{4\pi} \right) f dS. \quad (\text{П.2})$$

Мы заменили интегрирование по объему  $\delta V$  интегрированием по площади границы; индексами 1 и 2 отмечены величины, относящиеся к разным

фазам. В состоянии термодинамического равновесия найденное изменение потенциала (II.2) должно быть равно нулю при произвольной вариации  $f$ , поэтому

$$\Phi_1^0 + \frac{B_n^0 H_{n1}^0}{4\pi} = \Phi_2^0 + \frac{B_n^0 H_{n2}^0}{4\pi}.$$

Институт физических проблем  
Академии наук СССР

Поступила в редакцию  
30 декабря 1976 г.

#### Литература

- [1] L. D. Landau, E. M. Lifshitz. Sow. Phys. 8, 153, 1935 (перевод: Л. Д. Ландау. Собрание трудов, 1, «Наука», 1969, стр. 128).
- [2] И. А. Приворонский. ЖЭТФ, 56, 2129, 1969.
- [3] Л. Д. Ландау, Е. М. Лифшиц. Статистическая физика, «Наука», 1964, § 142.
- [4] Л. Д. Ландау, Е. М. Лифшиц. Электродинамика сплошных сред, Гостехиздат, 1957.
- [5] В. Г. Баръяхтар, А. Е. Боровик, В. А. Попов. Письма в ЖЭТФ, 9, 634, 1969.
- [6] В. Г. Баръяхтар, А. Е. Боровик, В. А. Попов. ЖЭТФ, 62, 2233, 1972.

#### ON THE THEORY OF MAGNETIC DOMAINS

*V. I. Marchenko*

A solution of the set of boundary conditions and the surface tension for inclined boundaries in uniaxial ferromagnets are found. The behavior of the Landau — Lifshitz domain structure in an external magnetic field directed along the anisotropy axis is determined. A structure of the intermediate state of antiferromagnetic substances is proposed for those cases when one of the relativistic constants is small.